

Фликкер-шумовая спектроскопия электрокардиографических сигналов

Аннотация

Рассматривается применение метода фликкер-шумовой спектроскопии в диагностировании функционального состояния сердечно-сосудистой системы с целью получения отличительных признаков для нормы и ряда катастрофических аритмий. Оцениваются спектры мощности для сингулярной и регулярной составляющих ЭКГ-сигнала, из которых извлекаются информативные признаки.

Введение

Рассматривается применение метода фликкер-шумовой спектроскопии в диагностировании функционального состояния сердечно-сосудистой системы с целью получения отличительных признаков для нормы и ряда катастрофических аритмий. Оцениваются спектры мощности для сингулярной и регулярной составляющих ЭКГ-сигнала, из которых извлекаются информативные признаки.

Постановка проблемы

Метод фликкер-шумовой спектроскопии предложен как общий феноменологический (немодельный) подход к анализу хаотических сигналов разной сущности [1], [2]. Сущность фликкер-шумовой спектроскопии заключается в придании информационной значимости корреляционным взаимосвязям, которые реализуются в последовательностях нерегулярностей сигнала (всплесках, скачках, изломах производных различных порядков) как носителях информации об изменениях, происходящих на каждом пространственно-временном уровне иерархической организации исследуемой динамической системы. В качестве базового образа для извлечения информации из сложных сигналов в методе фликкер-шумовой спектроскопии используется автокорреляционная функция $\psi(t)$. Для классификации информации анализируется не сама эта функция, а некоторые ее преобразования («проекции»), такие как спектр мощности $S(f)$, где f – частота сигнала, и разностный момент («переходная структурная функция») $\phi^{(2)}(t)$ второго порядка. Информация, извлекаемая из анализа зависимостей $S(f)$ и $\phi^{(2)}(t)$, построенных на основе временных рядов $V(t)$, имеет смысл времен корреляции, или параметров, характеризующих потерю корреляционных связей («памяти») для рассматриваемых нерегулярностей типа всплесков и скачков.

При этом в формирование зависимости $\phi^{(2)}(t)$ вносят вклад только нерегулярности типа скачков динамической переменной $V(t)$, а в формирование $S(f)$ – и скачки и всплески (выбросы) хаотических серий $V(t)$.

Решение проблемы прогноза эволюции сложной системы и прежде всего поиск предвестников (прекурсоров) катастрофических изменений в ней связаны с наиболее резкими изменениями зависимостей $S(f)$ и $\phi^{(2)}(t)$ ($p = 2, 3, \dots$), рассчитанных на основании высокочастотной и низкочастотной компонент $V(t)$.

Поведение электрокардиографического сигнала, отражающего функциональное состояние сердечно-сосудистой системы, является достаточно сложным и носит характер хаотичности.

Наиболее общий вид эволюции в динамической переменной $V(t_i)$ для i -го пространственно-временного уровня электрокардиографического сигнала представляется в форме перемежаемости (intermittency), когда не все интервалы на временной оси информационно эквивалентны. Такая динамика электрокардиограммы характеризуется (рис. 1) относительно слабыми изменениями переменной на относительно протяженных временных интервалах – «ламинарных фазах» – с характерными длительностями T_i и резкими прерываниями такой эволюции скачкообразными изменениями величины динамической переменной на коротких интервалах длительности τ_i ($\tau_i < T_i$).

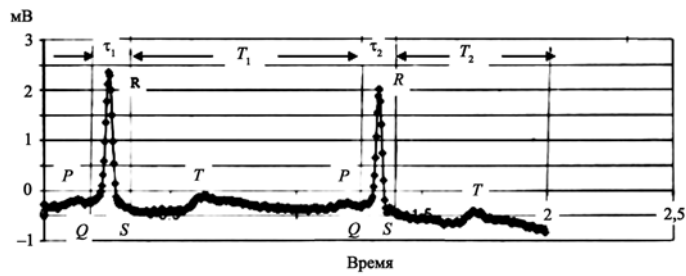


Рис. 1

Каждое такое скачкообразное изменение значений динамической переменной затем заканчивается до значений на следующем «ламинарном» участке. Величина и продолжительность таких скачков, всплесков и «ламинарных» участков специфичны для каждой из сердечно-сосудистых систем, обуславливая определенный вклад в соответствующей спектр мощности.

В таком случае исследуемый сигнал $V(t)$ удобно представить в виде суммы двух слагаемых: сингулярного члена $V_S(t)$, который формируется лишь всплесками динамической переменной, и регулярного члена $V_R(t) = V(t) - V_S(t)$, который формируется после вычитания всплесков из представленного сигнала и определяется скачками динамической переменной и «ламинарными фазами».

Анализ электрокардиограммы показывает, что она соответствует описанной динамике, когда всплески в виде QRS-комплексов чередуются достаточно малыми скачками в виде R - и T -зубцов и протяженными фазами в виде изолинии [3].

Информация, содержащаяся в $S(f)$ и $\phi^{(2)}(t)$, различна, так что для определения адекватных параметров исследуемой структуры надо анализировать зависимости $\log S(f) = F(\log f)$ и $\log \phi^{(2)}(t) = F(\log t)$.

1 Разбиение ЭКГ-сигнала на низкочастотную и высокочастотную составляющие

Обозначим через $V(t)$ динамическую переменную, характеризующую ЭКГ-сигнал. Применим предложенный в [1] метод разбиения динамического сигнала на низкочастотную $V_R(t)$ и высокочастотную $V_S(t)$ составляющие. Данный метод построен по аналогии с решением уравнения диффузии и основан на следующей «релаксационной» процедуре.

1. Зададим значения V_1, \dots, V_n сигнала V с шагом дискретности Δt .

2. Вычислим

$$\langle V \rangle = \frac{1}{N} \sum_{k=1}^n V(k)$$

и положим

$$V_{(R)} := V_{(k)} - \langle V \rangle, \quad k = 1, \dots, N.$$

3. Вычислим

$$\psi(m_\tau) = \frac{1}{N - m_\tau} \sum_{k=1}^{N-m_\tau} V_{(k)} V_{(k+m_\tau)}; \quad m_\tau = [\tau / \Delta t], \quad (1.1)$$

где

$$\begin{aligned}\phi^{(2)}(\tau) &= 2[\psi(0) - \psi(\tau)], \sigma^2 = \psi(0), \tau = m_\tau \cdot \Delta t, \\ m_\tau &= 0, 1, \dots, M-1, M \in N.\end{aligned}\quad (1.2)$$

4. Построим график $\phi^{(2)}(\tau)$ в двулогарифмических координатах.

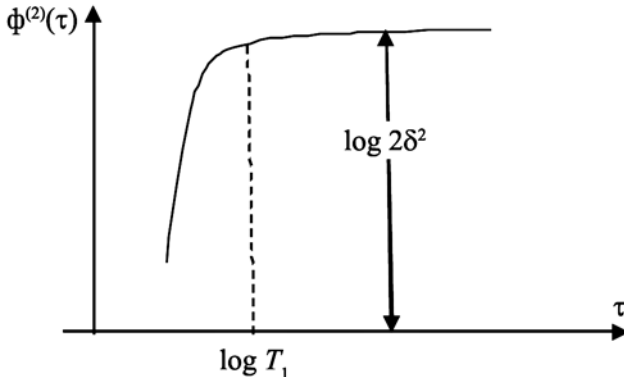


Рис. 2. Типичная кривая для функции $\phi^{(2)}(\tau)$, характеризующая хаотический сигнал $V(t)$ без резонансной составляющей

Асимптотическое представление для $\phi^{(2)}(\tau)$

$$\phi^{(2)}(\tau) = \begin{cases} \tau^{2H_1}, & \text{если } \tau \ll T_1; \\ 2\sigma^2, & \text{если } \tau \gg T_1. \end{cases} \quad (1.3)$$

5. Примем за T_1 значение τ , при котором $\log \phi^{(2)}(\tau)$ начинает стабилизироваться к константе, равной $\log(2\sigma^2)$.

6. Выберем последовательность малых $\{\tau_k\}$ ($k = 1, \dots, k_0$; $k_0 \approx 20$), $\tau_k \ll T_1$, и построим регрессию $y = ax + b$ ($b = 0$); $y = \ln \phi^{(2)}(\tau)$; $x = \ln \tau$; $a = 2H_1$.

По МНК-оценке \hat{a} вычислим оценку $H_1 = \hat{a}/2$.

7. Вычислим

$$D = \frac{\sigma^2}{\Gamma^2(1+H_1^*) \cdot T_1^*}. \quad (1.4)$$

Для вычисления $\Gamma(x)$ при $x = 1 + H_1$ положим $n = 10^3$ и представим $\Gamma(x)$ в виде

$$\Gamma(x) = \frac{\Gamma(x+1)}{x} = \frac{\Gamma(x+2)}{x(x+1)} = \dots = \frac{\Gamma(x+n)}{x(x+1) \cdots (x+nt)}. \quad (1.5)$$

Значение $\Gamma(z)$ (у нас $z = x + n$) вычислим по формуле

$$\Gamma(z) = \exp \left\{ \left(z - \frac{1}{2} \right) \ln z - z + \frac{1}{2} \ln 2\pi \right\} \quad (1.6)$$

с ошибкой порядка $z^{-1} \approx 10^{-3}$ $n \approx 10^3$ $z = x + n$.

8. Обозначим через Δt и $\Delta\tau$ шаги дискретности по t и τ , и

$$\omega = D \cdot \Delta\tau / (\Delta t)^2. \quad (1.7)$$

Выберем $\Delta\tau$ так, чтобы $\omega < 1/2$.

9. Положим $M := N - 1$ и построим итерационную процедуру по $j = 0, 1, \dots$, посредством которой значение V_k^{j+1} на j -м шаге вычисляется через значение V_k^j по формуле

$$V_k^{j+1} = \omega V_{k+1}^j + \omega V_{k-1}^j + (1-2\omega)V_k^j; \quad (1.8)$$

при $j = 0$ полагаем $V_k^j = V_{(k)}$; при $k = 1$ и $k = M$ значения V_k^{j+1} вычисляются по формулам

$$\begin{aligned}V_1^{j+1} &= (1-2\omega)V_1^j + 2\omega V_2^j; \\ V_M^{j+1} &= (1-2\omega)V_M^j + 2\omega V_{M-1}^j.\end{aligned}\quad (1.9)$$

Процедура останавливается на шаге $j = j_0$, при котором

$$\begin{aligned}|V_k^{j_0+1} - V_k^{j_0}| &< \epsilon \\ \text{для } V_k &= 1, \dots, M; k = 1, 2, \dots, N,\end{aligned}$$

где ϵ – заданное число (например $\epsilon = 10^{-m+1}$, где 10^{-m} – ошибка задания исходных значений V_k).

10. Значения $V_k^{j_0}$ определяют низкочастотную составляющую $V_R(t)$. Тогда $V(t) - V_R(t) = V_S(t)$ – высокочастотная составляющая сигнала $V(t)$.

Описанная процедура слаживания сигнала ориентирована на минимизацию «высокочастотной» информации в «низкочастотной» части $V_R(t)$ сигнала и наоборот – минимизацию «низкочастотной» информации в «высокочастотной» части $V_S(t)$ сигнала. Это заключение следует из диффузионного характера используемого дифференциального уравнения в частных производных

$$\frac{\partial V}{\partial \tau} = \frac{\partial^2 V}{\partial t^2}, \quad (1.10)$$

представленного в виде разностного уравнения

$$\frac{V_k^{j+1} - V_k^j}{\Delta\tau} = \frac{V_{k+1}^j + V_{k-1}^j - 2V_k^j}{(\Delta t)^2}, \quad (1.11)$$

соответствующего простейшей разностной схеме численного решения уравнения (1.10). Из уравнения (1.11) получаем

$$V_k^{j+1} = V_k^j + \frac{\Delta\tau}{(\Delta t)^2} (V_{k+1}^j + V_{k-1}^j - 2V_k^j).$$

В обозначении $\omega = \Delta\tau / (\Delta t)^2$ последнее уравнение записывается в виде уравнения (1.8). Из теории устойчивости разностных схем известно, что данная разностная схема будет абсолютно устойчива при $\omega < 1/2$.

Такая релаксационная процедура реализует максимальную скорость генерации энтропии [4], [5] и использует взаимосвязь энтропии и информации Фишера [5], [6], являющейся количественной мерой неоднородности плотности распределения анализируемого массива данных.

2 Параметризация сингулярной части сигнала

Процедура параметризации сингулярной части сигнала состоит из следующей последовательности шагов.

1⁰. Пусть $V(t)$ представлена в виде суммы (см. раздел 1)

$$V(t) = V_R(t) + V_S(t).$$

2⁰. Пусть $t_k = k\Delta t$ ($k = 1, \dots, N$); $t_0 = 0$, $t_N = T$ – точки задания $V(t)$ на $[0, T]$ с некоторым шагом дискретности Δt ; $N = [T/\Delta t]$.

Вычислим среднее значение

$$\langle V(t) \rangle = \frac{1}{N} \sum_{k=1}^N V(t_k). \quad (2.1)$$

В дальнейшем будем полагать, что $\langle V(t) \rangle = 0$, т. е. сигнал $V(t)$ – стационарный.

3⁰. Для стационарного сигнала $V(t)$ спектр мощности $S(f)$ [преобразование Фурье от автокорреляционной функции $\psi(\tau)$] совпадает с $S_c(f)$ [косинус преобразования Фурье от $\psi(\tau)$].

Зададим M из условия $4/3 \leq M \leq N$ (на практике принимают M близким к N). Полагаем, что M – четное число. Для временной задержки $m_\tau = 0, 1, \dots, M-1$ вычислим автокоррелятор

$$\psi(m_\tau) = \frac{1}{N-m_\tau} \sum_{k=1}^{N-m_\tau} V(k)V(k+m_\tau). \quad (2.2)$$

4⁰. Пусть $f = q/M\Delta t$.

Вычислим спектр мощности

$$S(f) = S_c(f);$$

$$S_c(f) = \frac{1}{\Delta t} S_c(q);$$

$$S_c(q) = \psi(0) + \psi\left(\frac{M}{2}\right) (-1)^q + 2 \sum_{m=1}^{\frac{M}{2}-1} \psi(m) \cos\left(\frac{2\pi q m}{M}\right) \quad (2.3)$$

где $q = 0, 1, \dots, M-1$.

5⁰. Построим изображение $S(f)$ [или $|S(f)|$], если в некоторых частотах $S(f) < 0$] в двулогарифмической шкале (рис. 3).

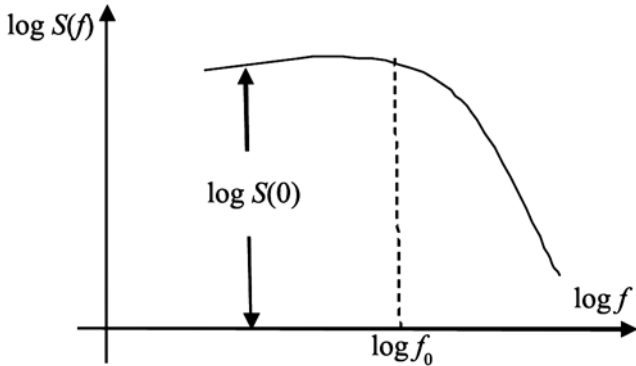


Рис. 3. Типичная кривая для функции $S(f)$, характеризующей хаотический сигнал $V(t)$ без резонансной составляющей

Из рис. 3 находим частоту $f = f_0$, начиная с которой $S(f)$ перестает стабилизироваться вокруг некоторой константы $S(0)$.

6⁰. Пусть $[f^*, \bar{f}^*]$ – интервал частот в области графика $S(f)$ [или $|S(f)|$], предшествующий первому сильному пику спектра мощности $S(f)$, соответствующий «нерегулярности – всплеску». Полагаем, что $S(f)$ возрастает при $f \in [f^*, \bar{f}^*]$ и $S_s^*(0)$ – некоторое число из интервала $[S(f^*), S(\bar{f}^*)]$.

7⁰. Вычислим автокоррелятор $\Psi_{S,R}(\tau)$ по формуле

$$\begin{aligned}\Psi_{S,R}(\tau) = & \frac{1}{N-m_\tau} \sum_{k=1}^{N-m_\tau} [V_s(k)V_s(k+m_\tau) + \\ & + V_R(k)V_s(k+m_\tau) + V_s(k)V_R(k+m_\tau)],\end{aligned}\quad (2.4)$$

где $m_\tau = 0, 1, \dots, M-1$.

8⁰. Вычислим сингулярную составляющую $S_S(f)$ спектра $S(f)$ по формуле

$$S_S(f) = \frac{1}{\Delta t} S_s(q);$$

$$\begin{aligned}S_s(q) = & \Psi_{S,R}(0) + \Psi_{S,R}\left(\frac{M}{2}\right)(-1)^q + \\ & + 2 \sum_{m=1}^{\frac{M}{2}-1} \Psi_{S,R}(m) \cos\left(\frac{2\pi q m}{M}\right)\end{aligned}\quad (2.5)$$

где $q = 0, 1, \dots, M-1$.

9⁰. Для параметризации $S_S(f)$ аппроксимируем эту функцию интерполяционным выражением

$$\hat{S}_s(f) \approx \frac{S_s(0)}{1 + (2\pi f T_0)^{n_0}}.\quad (2.6)$$

Параметры T_0 по формуле (2.6) будем определять по алгоритму 1, полагая вычисленным «экспериментальный» спектр $S_S(f)$ по формуле (2.5).

Алгоритм 1

9.1. Пользуясь графиком спектра (рис. 3), введем константы $f_0^*, f^*, \bar{f}^*, S_s^*(0)$, а также пороговую величину $RSS^* = 10^{10}$.

9.2. Зададим $S_S(0) = S_s^*(0)$ и оценим параметры T_0, n_0 .

Построим регрессию

$$y = ax + b,$$

где

$$y = \ln \left| \frac{S_s(0)}{S_s(f)} - 1 \right|; \quad x = \ln 2\pi f; \quad a = n_0; \quad b = n_0 \ln T_0,$$

и оценим коэффициенты a и b с помощью метода наименьших квадратов (МНК) по выборке $\{y_m, x_m\}$ с y_m и x_m , соответствующими частотам

$$f_m = \frac{m}{M \cdot \Delta t},$$

где $m = 0, 1, \dots, M-1$.

Вычислим остаточную сумму квадратов:

$$RSS^{(1)} = \sum_{m=0}^{M-1} \left[y_m - (\hat{a}x_m + \hat{b}) \right]^2,$$

где \hat{a} и \hat{b} – МНК – оценка параметров a и b .

Если $RSS^{(1)} < RSS^*$, то $RSS^* := RSS^{(1)}$; $\hat{n}_0 = n_0^*$; $T_0^* = \hat{T}_0$, где $\hat{T}_0 = \exp\{\hat{b}/\hat{a}\}$.

9.3. Зададим $n_0 = n_0^*$, $S_S(0) = S_s^*(0)$ и оценим T_0

Построим регрессию

$$y = ax + b \quad (b = 0),$$

где

$$y = \left| \frac{S_s(0)}{S_s(f)} - 1 \right|^{1/n_0}; \quad x = 2\pi f; \quad a = T_0.$$

Вычислим

$$RSS^{(2)} = \sum_{m=0}^{M-1} \left[y_m - \hat{a}x_m \right]^2.$$

Если $RSS^{(2)} < RSS^*$, то $RSS^* := RSS^{(2)}$; $T_0^* = \hat{T}_0$, где $\hat{T}_0 = \hat{a}$.

9.4. Зададим $T_0 = T_0^*$, $n_0 = n_0^*$ и оценим $S_S(0)$.

Построим регрессию

$$y = ax + b \quad (b = 0),$$

где

$$y = S_S(f); \quad x = \frac{1}{1 + (2\pi f T_0) n_0}; \quad a = S_S(0).$$

Вычислим

$$RSS^{(3)} = \sum_{m=0}^{M-1} \left[y_m - \hat{a}x_m \right]^2.$$

Если $RSS^{(3)} < RSS^*$, то $RSS^* := RSS^{(3)}$; $S_s(0) = \hat{S}_s(0)$, где $\hat{S}_s(0) = \hat{a}$.

9.5. Зададим $S_S(0) = S_s^*(0)$, $T_0 = T_0^*$ и оценим n_0 .

Построим регрессию

$$y = ax + b \quad (b = 0),$$

где

$$y = \ln \left| \frac{S_s(0)}{S_s(f)} - 1 \right|; \quad x = \ln (2\pi f T_0); \quad a = n_0.$$

Вычислим

$$RSS^{(4)} = \sum_{m=0}^{M-1} \left[y_m - \hat{a}x_m \right]^2.$$

Если $RSS^{(4)} < RSS^*$, то $n_0^* = \hat{n}_0$, где $\hat{n}_0 = \hat{a}$.

В результате алгоритма 1 получим тройку параметров $S_S(0) = S_s^*(0)$; $n_0 = n_0^*$; $T_0 = T_0^*$, характеризующих интерполяционное выражение (2.6) для сингулярной составляющей спектра $S_S(f)$.

3 Результаты вычислительного эксперимента

При проведении вычислительного эксперимента были проанализированы электрокардиографические сигналы с нормальным состоянием сердечно-сосудистой системы и патологические сигналы (тахикардия, аритмия и фибрилляция предсердий). Использовались данные с общедоступного сайта www.PhysioNet.org для II-го стандартного отведения [7]. Параметры снятия ЭКГ (тип отведения, частота дискретизации, время, число отсчетов и амплитуда сигнала) включены в пробу. Частота дискретизации для различных проб варьируется от 125 до 1000 Гц. Значения представленных отсчетов с учетом знакового разряда соответствуют использованию 12-разрядного АЦП.

На рис. 4-6 представлены графики спектральной мощности ЭКГ-сигнала для нормы (2.3), сингулярной составляющей этого сигнала (2.5) и оценка сингулярной составляющей данного сигнала (2.6).

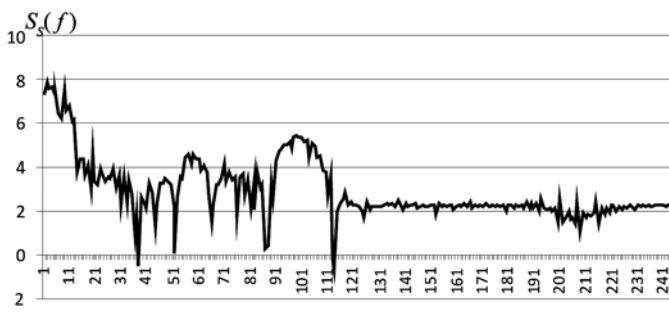


Рис. 4

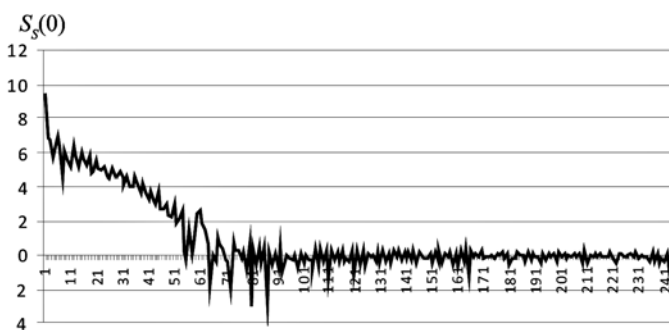


Рис. 5

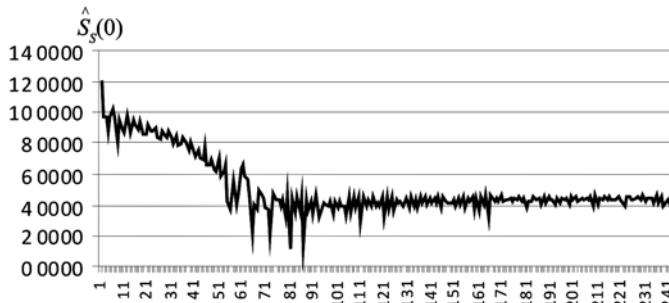


Рис. 6

На рис. 7-9 представлены в качестве примера аналогичные зависимости для ЭКГ-сигнала с диапазоном «предсердная аритмия».

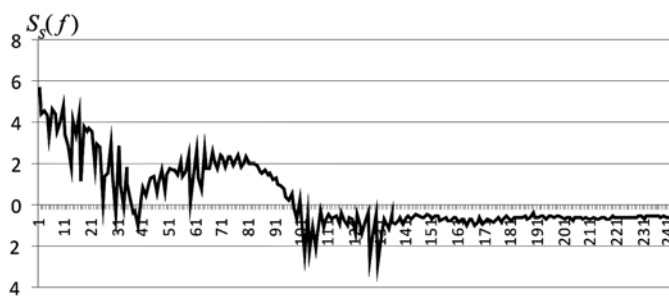


Рис. 7

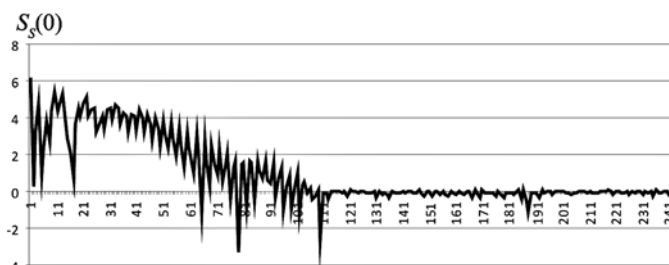


Рис. 8

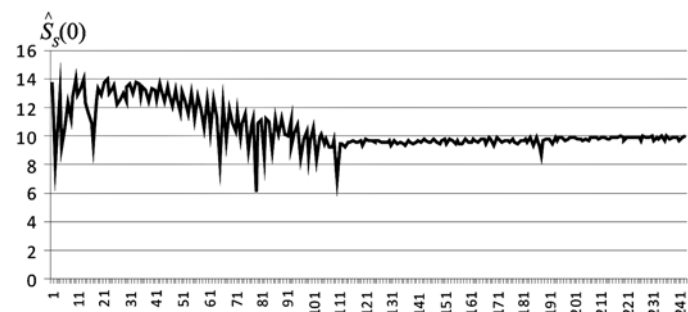


Рис. 9

Для всех рассмотренных состояний сердечно-сосудистой системы получены такие же зависимости и на основании полученных зависимостей рассчитаны информативные параметры сингулярной составляющей ЭКГ-сигналов (табл. 1).

Таблица 1
Информативные параметры сингулярной составляющей ЭКГ-сигнала

ЭКГ-сигнал	n_0	T_0	$S_s(0)$
Норма	0,3414	0,0042	437,8090
Предсердная фибрилляция	0,3836	0,0036	334,3640
Желудочковая тахикардия	0,4123	0,0032	197,3580
Предсердная аритмия	0,4013	0,0059	43,7105

Высокая специфичность $S(f)$ паттернов, получаемых при исследовании сердечно-сосудистой системы в норме и с указанными патологиями, может быть использована для диагностики болезней. Построенные на основании разных ЭКГ зависимости $S(f)$ и полученные соответствующие им информативные параметры отличаются друг от друга, что дает основание рассматривать данные зависимости как паттерны, характеризующие состояние исследуемого пациента. Полученные информативные параметры можно рассматривать в качестве отличительных признаков для дифференциальной диагностики сердечно-сосудистых заболеваний (например, с помощью искусственных нейронных сетей).

Такой подход показывает возможность фликкер-шумовой спектроскопии устанавливать значимые различия в исходных, визуально не сильно отличающихся, ЭКГ-сигналах.

Список литературы:

1. Тимашев С.Ф., Встовский Г.В. Фликкер-шумовая спектроскопия в анализе хаотических временных рядов динамических переменных и проблема отношения «сигнал - шум» // Электрохимия. 2003. Т. 39. С. 156-169.
2. Тимашев С.Ф. Фликкер-шумовая спектроскопия: информация в хаотических сигналах. – М.: ФИЗМАТЛИТ, 2007. 248 с.
3. Струтынский А.В., Мурашко В.В. Электрокардиография. – М.: Медпрес-информ, 2004. 320 с.
4. Кадомцев Б.Б. Динамика и информация. – М.: Успехи физических наук, 1997. 401 с.
5. Агеев Е.П. Неравновесная термодинамика в вопросах и ответах. – М.: МГУ, 1999. 114 с.
6. Встовский Г.В. Элементы информационной физики. – М.: МГИУ, 2002. 258 с.
7. www.PhysioNet.org.

Абдуллаев Намик Таир оглы, канд. техн. наук, доцент,
кафедра биомедицинской техники,
Азербайджанский технический университет,
Олег Александрович Дашин,
канд. физ.-мат. наук, ст. научный сотрудник,
Азербайджанская государственная нефтяная академия,
НИИ «Геотехнологические проблемы нефти, газа и химии»,
Гасанкулиева Мятаным Магомед гызы, докторант,
кафедра информационно-измерительной
и компьютерной техники,
Азербайджанская государственная нефтяная академия,
г. Баку, e-mail: a.namik46@mail.ru